

# Unity Physics Training

## Absolute Dosimetry

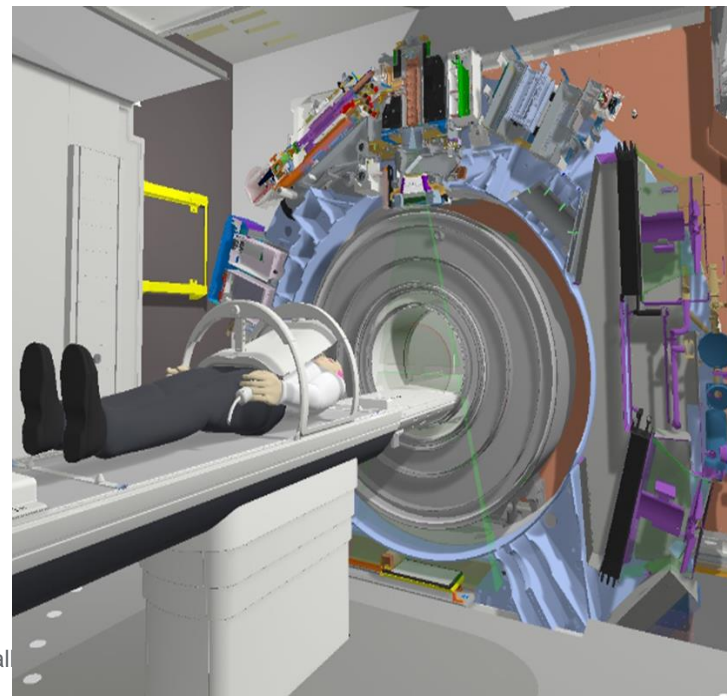
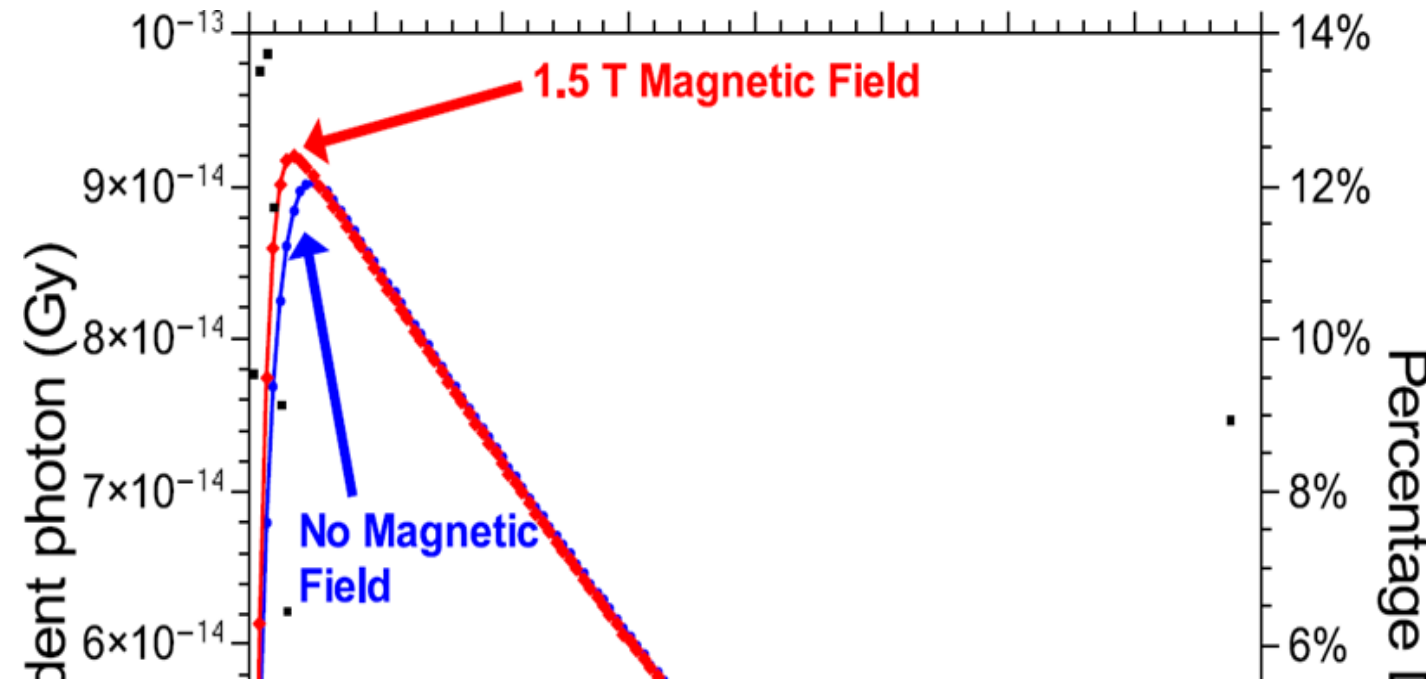
第2版 : 2021/7/28  
E006489/1.0



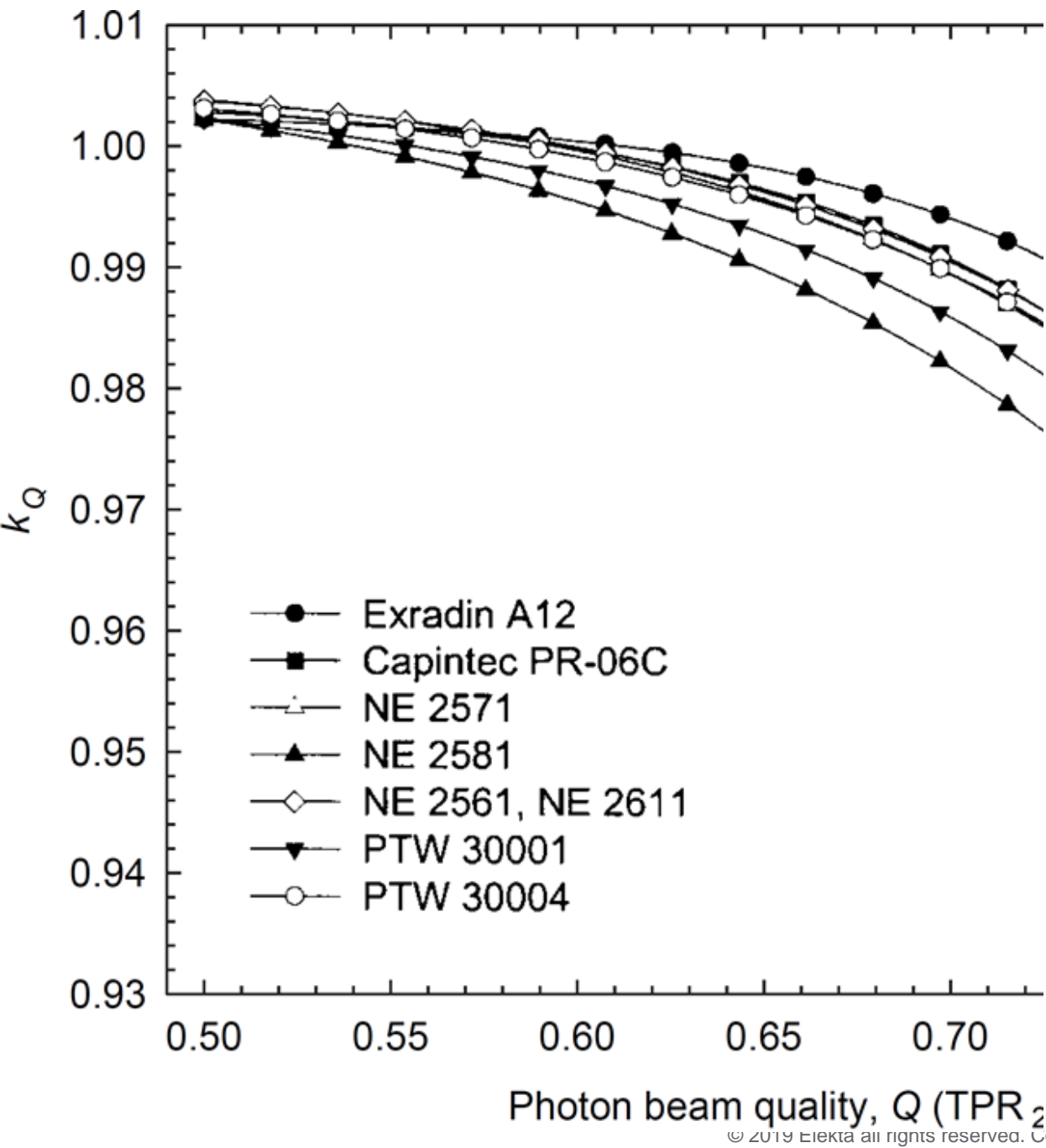
# Absolute Dosimetry

## 目的

リファレンス線量測定における  
磁場による影響の理解



Lesson  
Objectives



# Standard Reference Dosimetry Protocols

# Formalism

## Standard Reference Dosimetry Protocols

線量測定プロトコルは、以下の形式を使用

$$D_w^Q = M \cdot N_{D,w}^{Q_0} \cdot k_Q$$

(e.g. AAPM, IAEA)

# Beam Quality

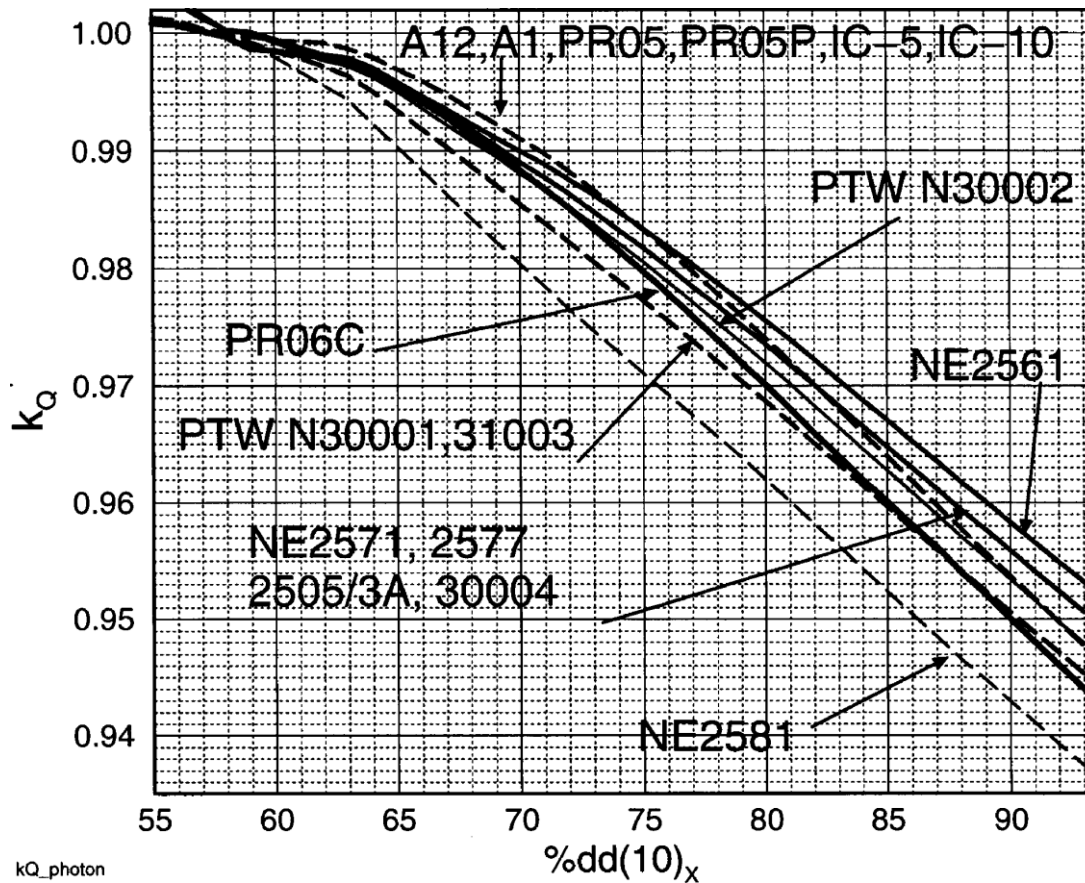
## Standard Reference Dosimetry Protocols

- ビーム線質を決定する必要がある。
- 一般的な2つの線質指標は次の通り
  - $\%dd(10)_x$       Used by AAPM TG-51 protocol  
純粋な光子ビーム（電子汚染なし）の深さ10cmでの深さ線量のパーセンテージ。  
SSD100cmで測定する必要がある。
  - $TPR_{10}^{20}$       Used by IAEA TRS-398 protocol  
深さ20cmと10cmのアイソセンターでの線量比。SSDに依存しない。

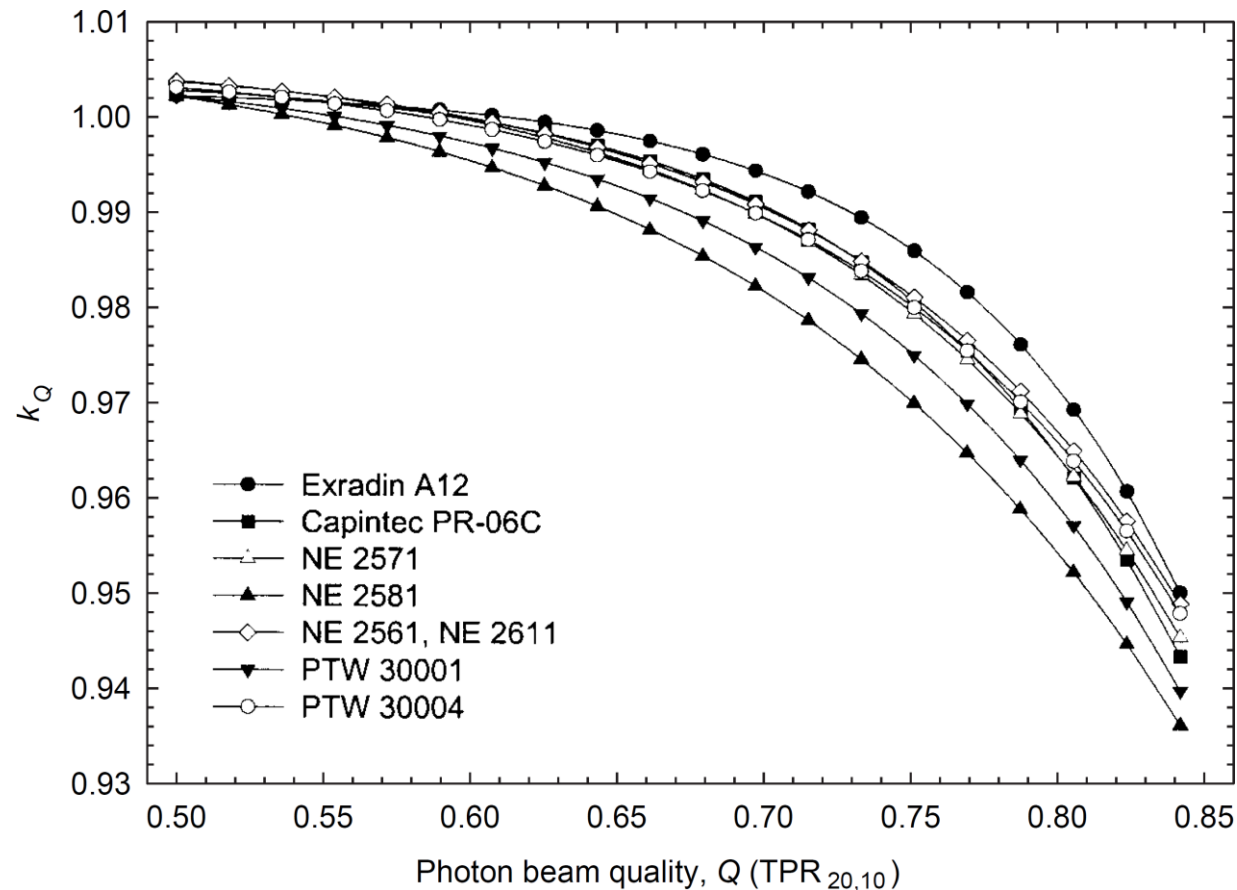
# Beam Quality Correction

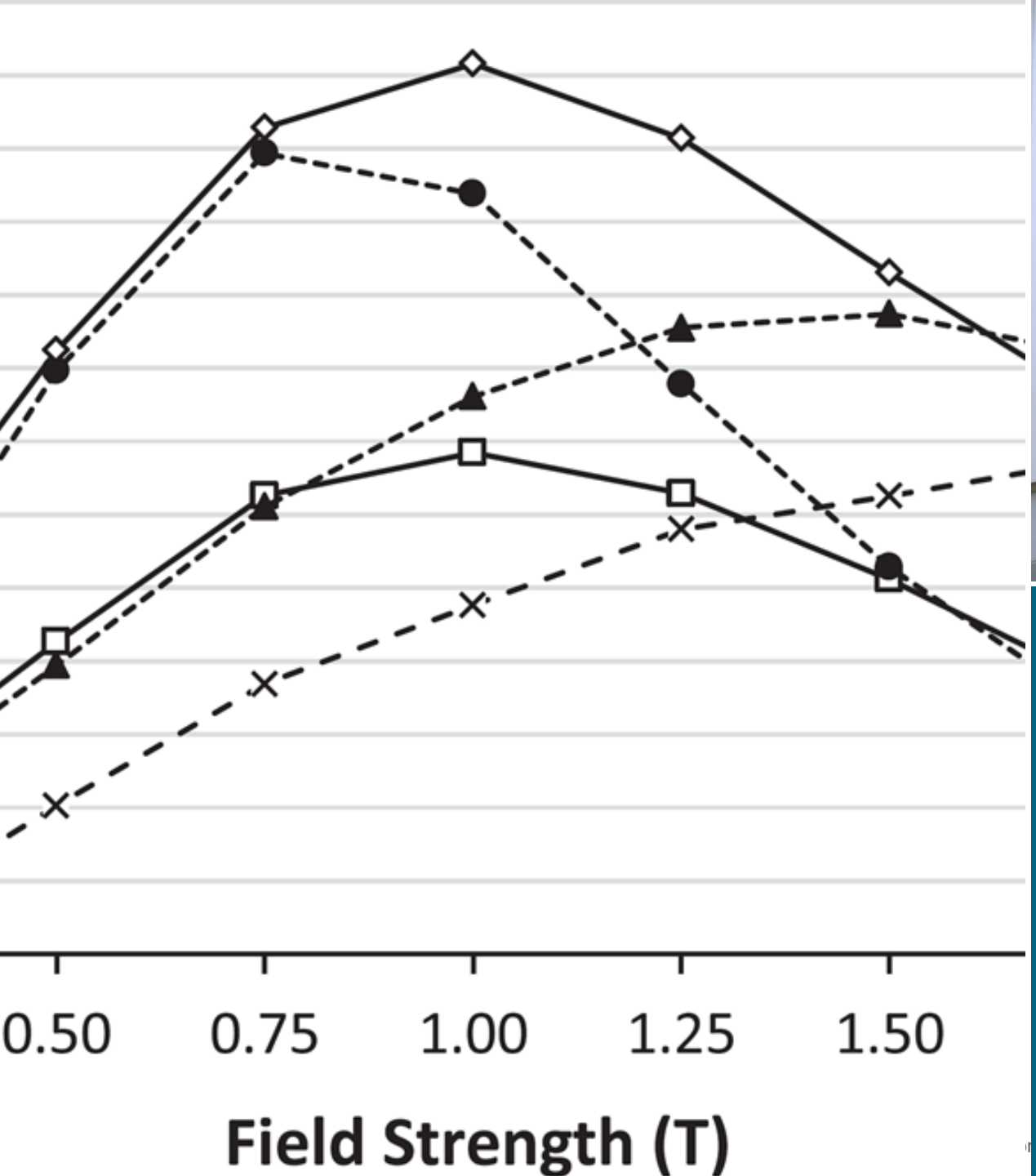
## Standard Reference Dosimetry Protocols

AAPM TG-51



IAEA TRS-398





# Complications in Magnetic Fields

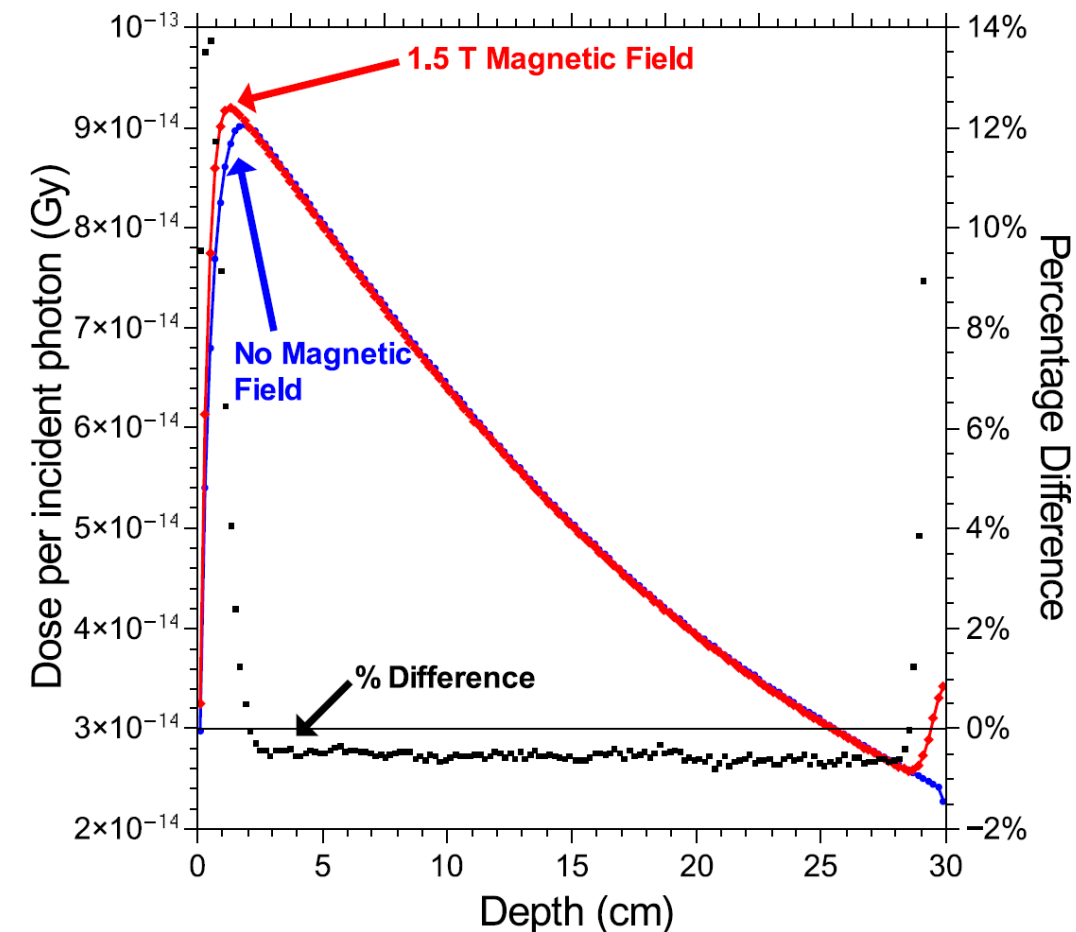
# Beam Quality Determination

## Complications in Magnetic Fields

磁場はPDDを変化させる。

Pure Photon Beam	$d_{max}$	%dd(10) <sub>x</sub>	$TPR_{10}^{20}$
No magnetic field	1.85	71.4	0.697
1.5 T magnetic field	1.30	69.7	0.695

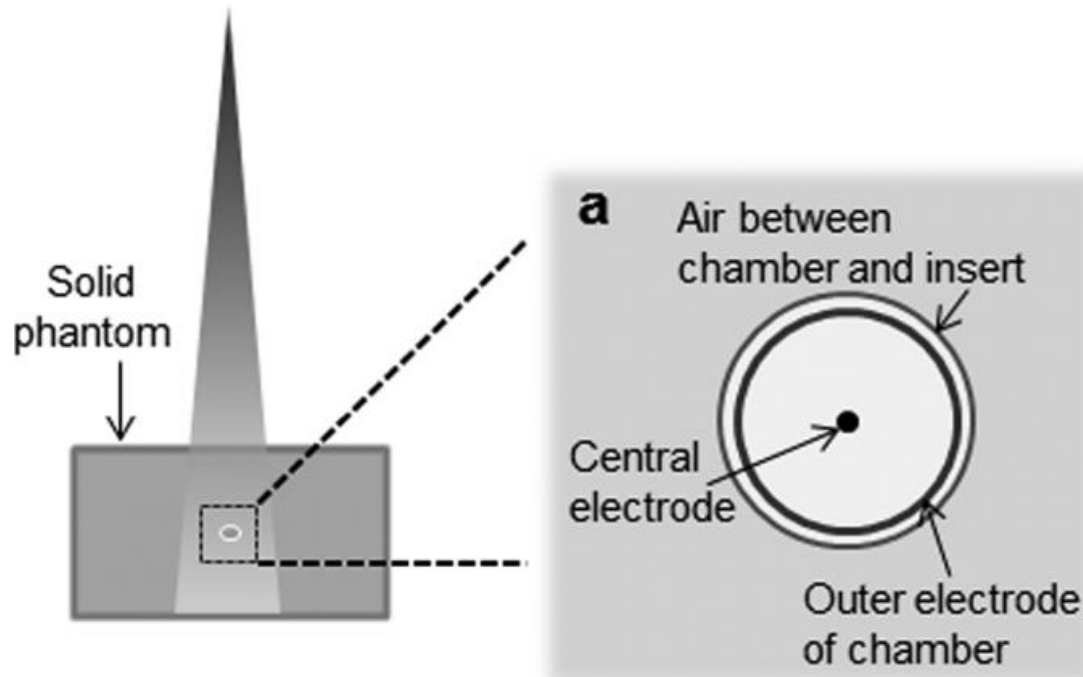
- %dd(10)<sub>x</sub> は変化する。
- $TPR_{10}^{20}$  は磁場の強さに依存しない。



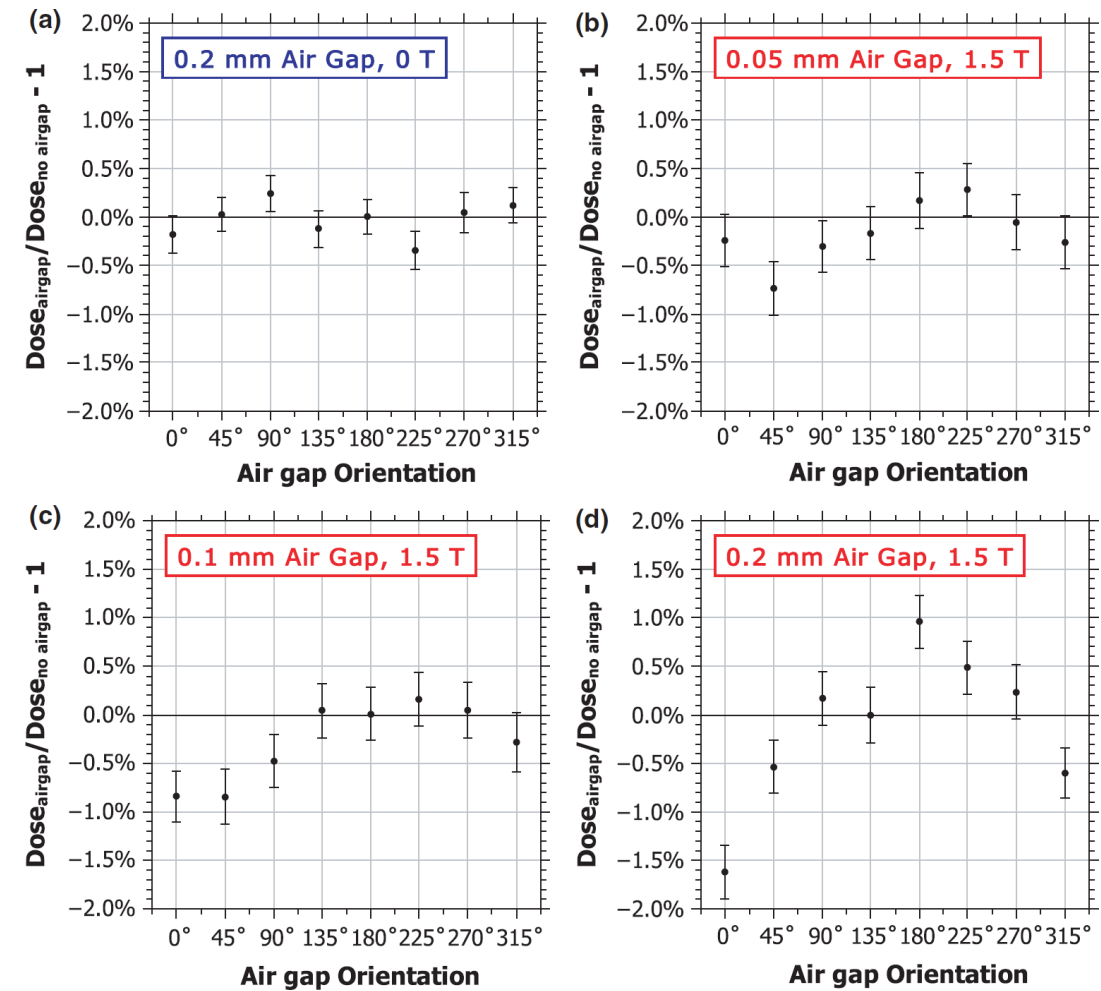
\* O'Brien et al. (2016). "Reference dosimetry in magnetic fields: formalism and ionization chamber correction factors." Med. Phys. 43(8), 4915–4927

# Air Gap Effect

## Complications in Magnetic Fields



\* (Adapted) Hackett et al. (2016). "Consequences of air around an ionization chamber : Are existing solid phantoms suitable for reference dosimetry on an MR-linac?" Med. Phys. 43(7), 3961–3968

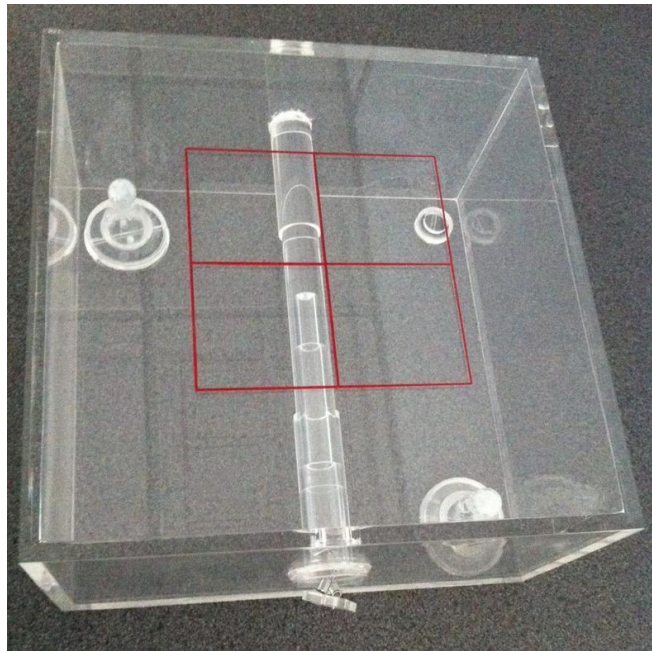


\* O'Brien et al. (2017). "Monte Carlo study of the chamber-phantom air gap effect in a magnetic field." Med. Phys. 44(7), 3830–3838

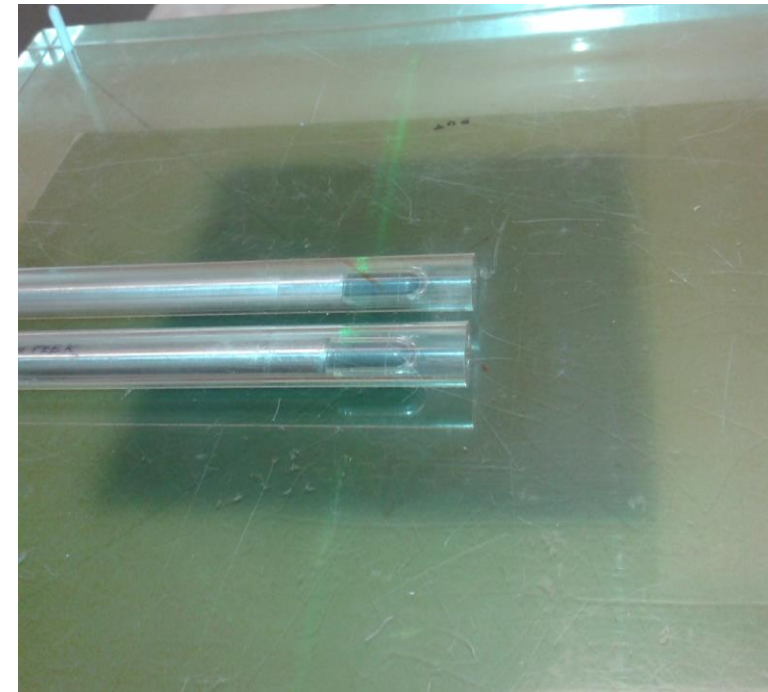
# Calibration Phantoms

## Complications in Magnetic Fields

例えば エアギャップの影響を受けやすいファントム



防水性ファーマーチャンバー用の水ファントム



クロスキャリブレーションファントム



© 2019 Elekta all rights reserved. Cor



## Adaptation Strategies

# Code of Practices?

## Adaptation Strategies

The screenshot shows the NPL website with a blue header. The logo 'NPL' is on the left, followed by a stylized white wave graphic. Below the header is a navigation bar with four main categories: 'Science + Technology', 'Commercial Services', 'Educate + Explore', and 'Joint Ventures'. A 'Menu' icon is in the top right corner. The main content area has a breadcrumb trail: 'Home > News + Events > News'. The main headline reads 'New facility supports MRI-guided radiotherapy'. A red box highlights the Japanese text 'リファレンス線量測定はご施設様判断となります' (Reference dose measurement is at the discretion of your facility) which appears to be a translation of the English text 'A new electromagnet at the National Physical Laboratory will enable research supporting MRI-guided radiotherapy'.



### FIRST WATER CALORIMETER MEASUREMENTS IN AN MRI-LINAC

A leap towards traceable dosimetry for MR-guided radiotherapy

*A team of researchers from VSL Dutch Metrology Institute and the University Medical Centre Utrecht have, for the first time ever, carried out calorimetric absorbed dose to water measurements in a 1.5 T magnetic field of an Elekta Atlantic MRI-linac. The measurements that*

# Formalism

## Adaptation Strategies

現在の公式は、磁場による電離箱の影響を説明していない。

Original Formalism

$$D_w^Q = M \cdot N_{D,w}^{^{60}Co} \cdot k_Q$$

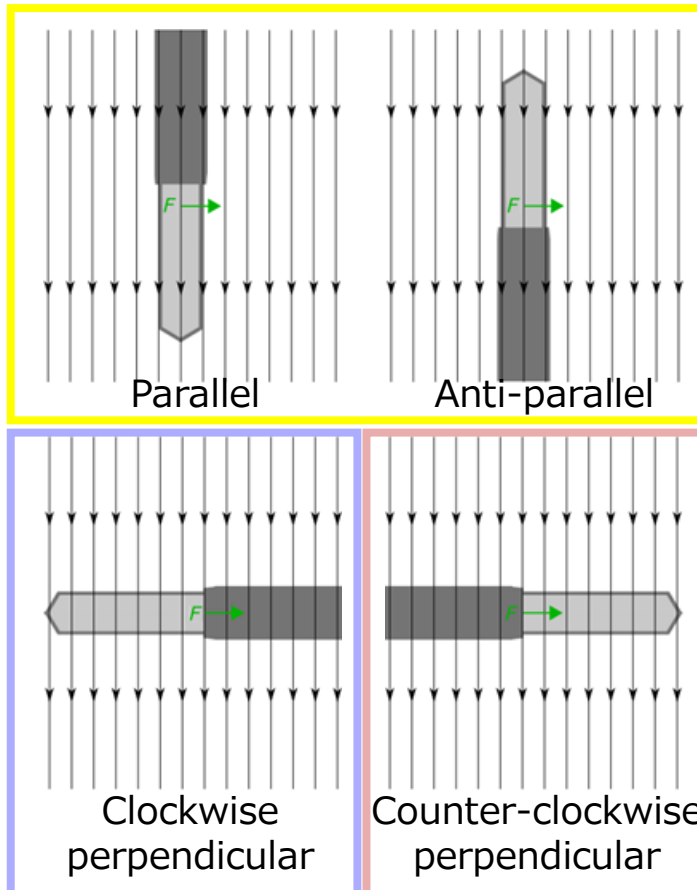
Adapted Formalism

$$D_w^Q = M \cdot N_{D,w}^{^{60}Co} \cdot k_Q \cdot k_B$$

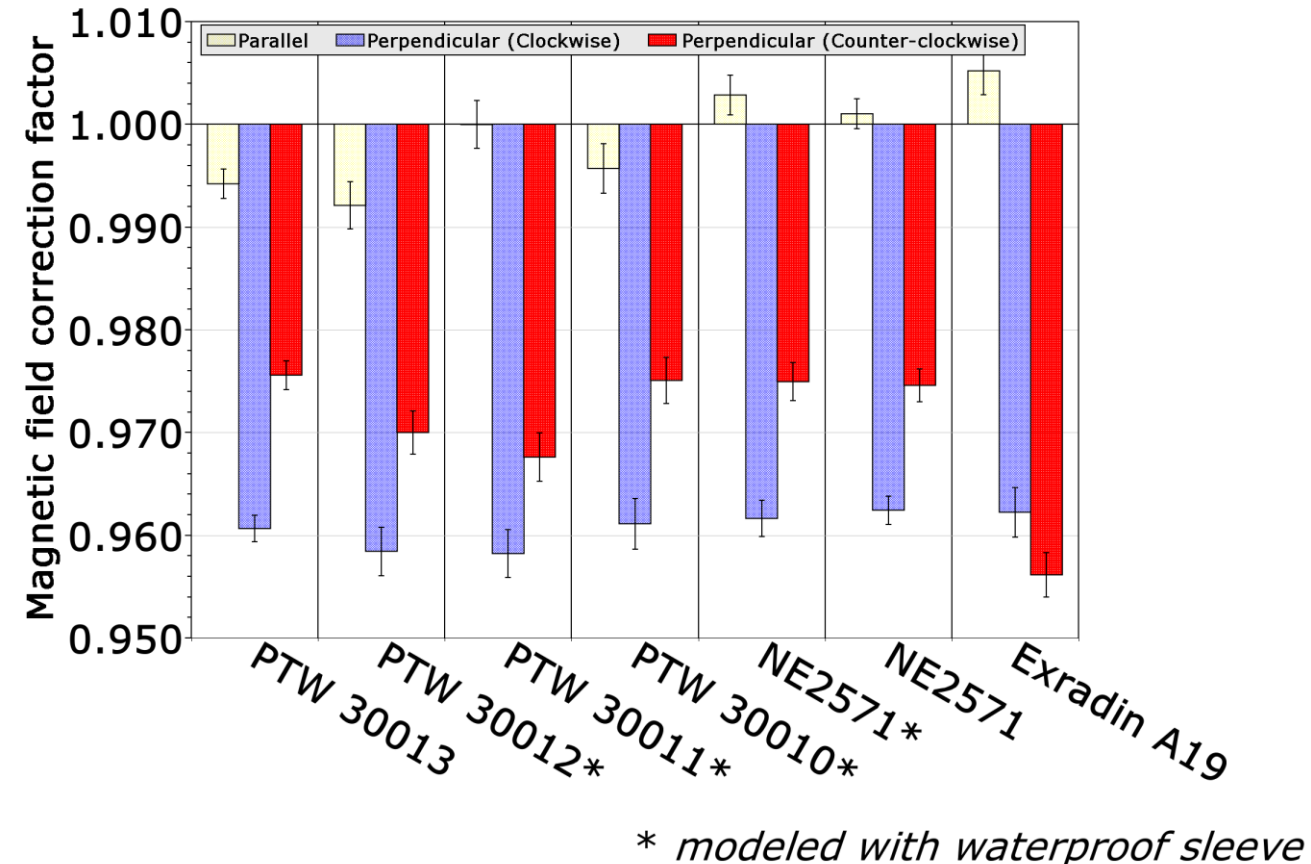
補正係数  $k_B$  を使用して、磁場による電離箱の影響を考慮する必要がある。

# Ion Chamber Orientation

## Adaptation Strategies



\* O'Brien et al. (2016) Med. Phys. 43(8), 4915–4927



# Published values of $k_B$

## Adaptation Strategies

- $k_B$ が検討された3つの論文のご紹介

- # 1 O'Brien, D J et al. "Reference dosimetry in magnetic fields: formalism and ionization chamber correction factors." *Medical physics* vol. 43,8 (2016): 4915. doi:10.1118/1.4959785
- # 2 Van Asselen, Bram, et al. "A formalism for reference dosimetry in photon beams in the presence of a magnetic field." *Physics in Medicine & Biology* 63.12 (2018): 125008.
- # 3 Malkov, Victor N, and D W O Rogers. "Monte Carlo study of ionization chamber magnetic field correction factors as a function of angle and beam quality." *Medical physics* vol. 45,2 (2018): 908-925. doi:10.1002/mp.12716

# Published values of $k_B$

## Adaptation Strategies

# 1

TABLE III. Ionization chamber magnetic field correction factors and their statistical uncertainties (rounded to the nearest 0.05%) for three orientations: parallel ( $k_{B_{\parallel}}^{Q_{\text{msr}}}$ ); clockwise perpendicular ( $k_{B_{\curvearrowright}}^{Q_{\text{msr}}}$ ); and counter-clockwise perpendicular ( $k_{B_{\curveleftarrow}}^{Q_{\text{msr}}}$ ).

Detector	$k_{B_{\parallel}}^{Q_{\text{msr}}}$	$k_{B_{\curvearrowright}}^{Q_{\text{msr}}}$	$k_{B_{\curveleftarrow}}^{Q_{\text{msr}}}$	Uncertainty (%)
PTW 30013	0.994	0.961	0.976	0.15
PTW 30012 <sup>a</sup>	0.992	0.958	0.970	0.25
PTW 30011 <sup>a</sup>	1.000	0.958	0.968	0.25
PTW 30010 <sup>a</sup>	0.996	0.961	0.975	0.25
NE2571 <sup>a</sup>	1.003	0.962	0.973	0.20
NE2571	1.001	0.962	0.973	0.15
Exradin A19	1.005	0.962	0.956	0.25

<sup>a</sup>Chambers modeled with a 1 mm thick layer of PMMA representing a water-proof sleeve.

O'Brien, D J et al. "Reference dosimetry in magnetic fields: formalism and ionization chamber correction factors." Medical physics vol. 43,8 (2016): 4915. doi:10.1118/1.4959785

# Published values of $k_B$

## Adaptation Strategies

# 2

**Table 2.** The  $k_{B\perp,Q}$  and  $k_{B\parallel,Q}$  of the UMC Utrecht data compared with the reported data in the literature based on measurements (M) and Monte Carlo (MC) calculations for two ionization chamber models. Uncertainties are shown between brackets as the least significant digit of the reported value. All uncertainties are of Type A, i.e. based on statistical methods only, except for de Prez *et al*, which includes Type B errors as well.

Chamber type	Reference		TPR <sub>20,10</sub>	$k_{B\perp,Q}$	$k_{B\parallel,Q}$
PTW 30013	UMC Utrecht	M	0.701	0.963(2)	0.992(2)
	de Prez <i>et al</i> (2016b)	M	0.702	0.961(7)	
	O'Brien <i>et al</i> (2016)	MC	0.695	0.976(1)	0.994(1)
				0.961(1) <sup>a</sup>	
	Malkov <i>et al</i> (2017a)	MC	0.695		0.988(1)
	Spindeldreier <i>et al</i> (2017)	MC	0.674	0.954(3)	0.993(3)
				0.959(3) <sup>a</sup>	
IBA FC65-G	UMC Utrecht	M	0.701	0.952(2)	0.997(3)
	de Prez <i>et al</i> (2016b)	M	0.702	0.951(7)	
	Malkov <i>et al</i> (2017a)	MC	0.695		0.992(1)

<sup>a</sup> Result obtained with chamber in the perpendicular orientation as shown in figure 2, but with the magnetic field in the opposite direction.

Van Asselen, Bram, et al. "A formalism for reference dosimetry in photon beams in the presence of a magnetic field." Physics in Medicine & Biology 63.12 (2018): 125008.

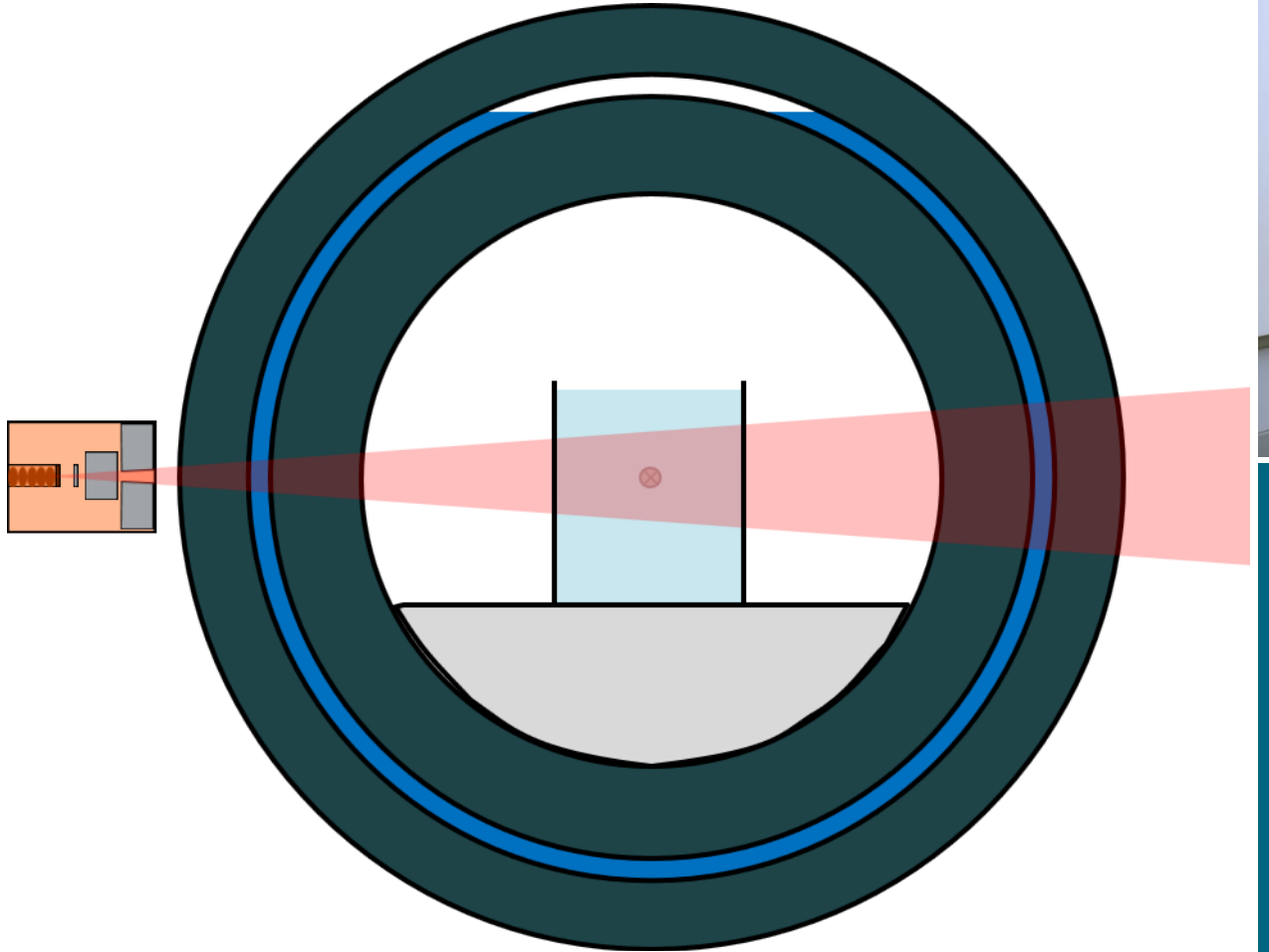
# Published values of $k_B$

## Adaptation Strategies

# 3

TABLE V. The  $\parallel_{ch}$  orientation  $k_B$  values of O'Brien et al. and this work, and  $\Delta k_B$  the percent difference between those values. The NE2571 is simulated with a waterproof sleeve

	O'Brien et al. <sup>15</sup> $k_B$	This work $k_B$	$\Delta k_B$ (%)
PTW 30013	0.994(2)	0.9881(6)	0.6 $\pm$ 0.2
PTW 30012	0.992(3)	0.9870(6)	0.5 $\pm$ 0.3
PTW 30011	1.000(3)	0.9920(6)	0.8 $\pm$ 0.3
PTW 30010	0.996(3)	0.9871(6)	0.9 $\pm$ 0.3
NE2571 <sup>w</sup>	1.001(2)	0.9888(7)	1.2 $\pm$ 0.2
Exradin A19	1.005(3)	1.0007(8)	0.4 $\pm$ 0.3

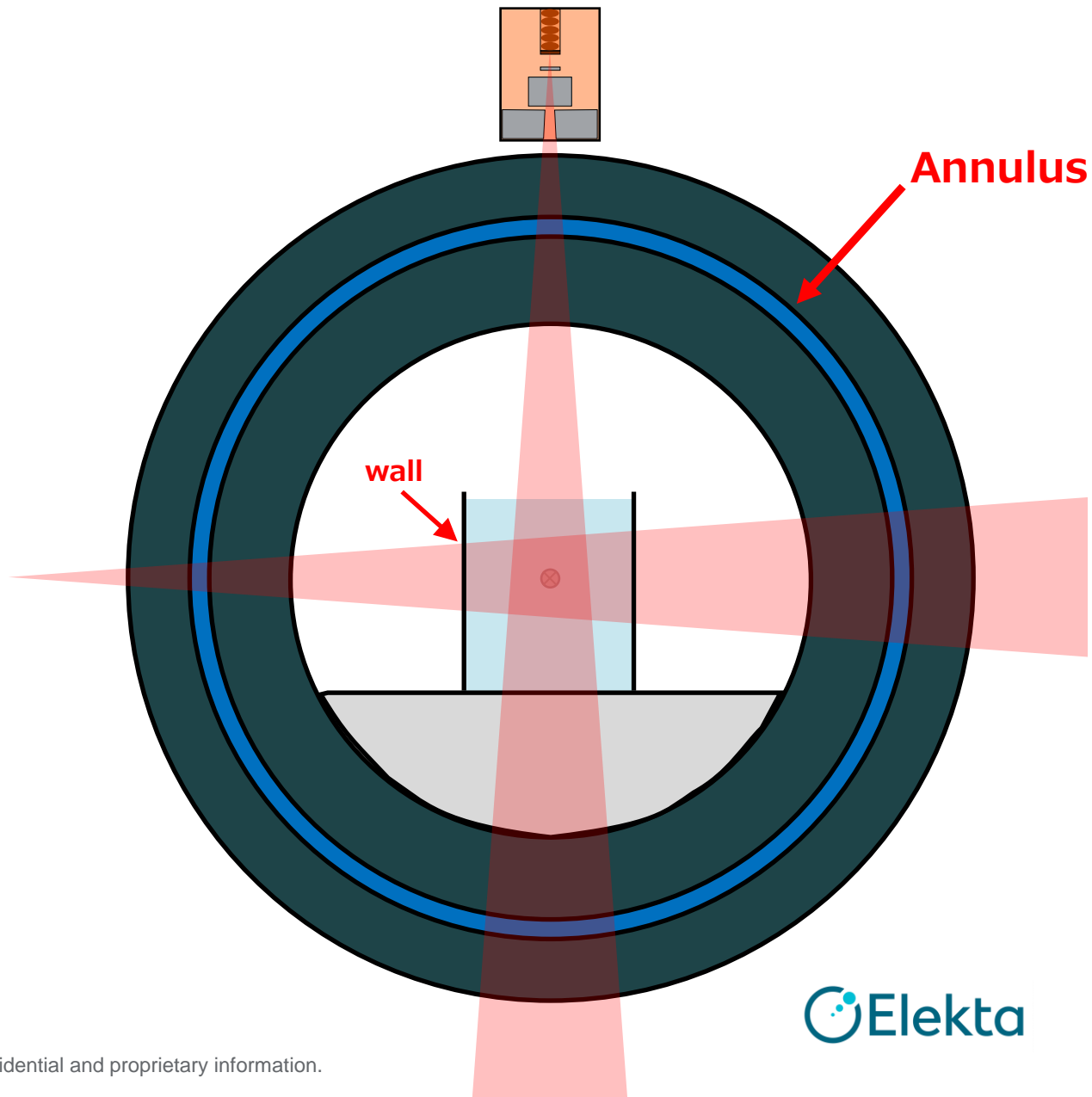


# Measurement Conditions

# Reference Conditions

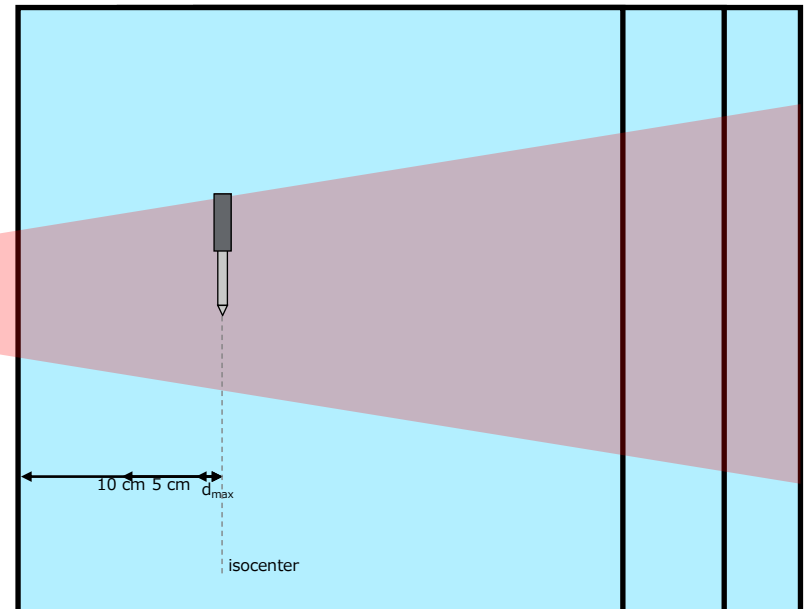
## Gantry Angle

- ビームは液体ヘリウムを含む管腔を通過する。
- 管内のヘリウム充填レベルは、ガントリー $0^\circ$ での線量出力に影響を与える可能性がある。  
※ 最大0.9%
- エレクタはガントリー $90^\circ$ または $270^\circ$ で線量測定をすることを推奨する。
  - これにより、計画線量全体に対する全体的な影響が最小限に抑えられる。
- これには、水ファントムの側壁を照射する必要がある。
  - 壁の水等価深を考慮する必要がある。



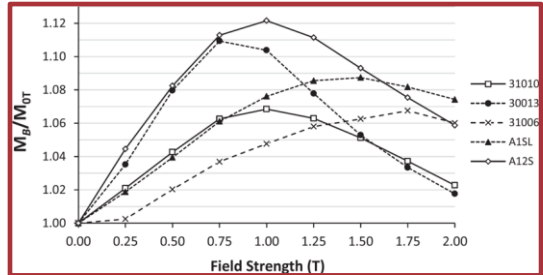
# Reference Conditions

# Calibration Depth

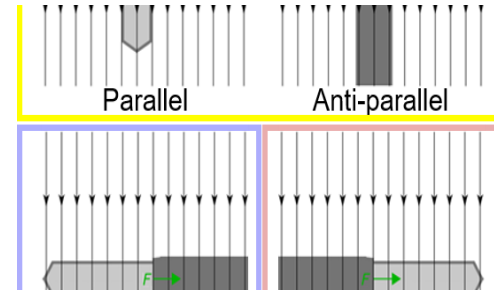


# Absolute Dosimetry

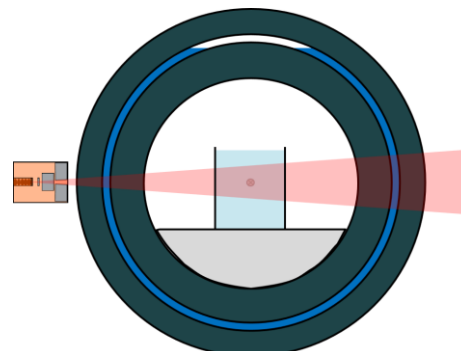
## Review



線量測定は、磁場の影響を考慮する必要がある。



公開されている補正係数は存在するが、標準プロトコルは現在存在しない。



エレクタは、深さd<sub>max</sub>もしくは5cm、ガントリー90°(270°)で校正することを推奨する。

# Thank you

---

